

# 数值求解二维 Sine-Gordon 方程 的 $C^0P_1$ 时间递进方法

盛华山

(上海交通大学数学科学学院, 上海 200240)

[摘要] 提出了基于局部线性化的连续分片线性(以下简称  $C^0P_1$ )时间递进方法<sup>[1]</sup>求解二维 sine-Gordon 方程的数值方法. 首先在时间方向采用连续分片线性有限元离散, 通过对 sine-Gordon 方程中各项分别采用显式或隐式线性化插值, 导出时间半离散格式. 再在空间方向利用有限元方法<sup>[2]</sup>离散得到全离散格式. 若干数值试验证明了该方法的有效性.

[关键词] 时间递进方法, sine-Gordon 方程, 线性化插值, 全离散格式

[中图分类号] O24 [文献标志码] A [文章编号] 1001-4616(2017)01-0001-05

## A $C^0P_1$ Time Stepping Method for Solving 2D Sine-Gordon Equations

Sheng Huashan

(School of Mathematical Sciences, Shanghai Jiao Tong University, Shanghai 200240, China)

**Abstract:** This paper proposes a continuous piecewise linear (called  $C^0P_1$  for short) time stepping method<sup>[1]</sup> combined with local linearization for solving 2D sine-Gordon equations. First of all, the sine-Gordon equations are discretized in time direction by a linear continuous Galerkin method combined with the explicit or implicit local linearization, leading to a semi-discrete scheme. Furthermore, a full-discrete scheme is obtained by spatial discretization with the finite element method<sup>[2]</sup>. Several numerical experiments are given to perform the effectiveness of the method.

**Key words:** time stepping method, sine-Gordon equations, linear interpolation, full-discrete scheme

sine-Gordon 方程是一类典型的非线性双曲型偏微分方程, 广泛应用于物理学及工程问题中. 它最初是由 Edmond Bour<sup>[3]</sup> 在研究常负曲率曲面的过程中提出, 随后该方程又因其可用于描述孤立子解而备受瞩目. 对于该方程, 有 Lamb 方法<sup>[4]</sup>, tanh 方法<sup>[5]</sup> 等分析或者给出其理论解析解; 另一方面, 数值求解 sine-Gordon 方程的离散格式也不断被提出, 其中包括 Christiansen 和 Lomdahl 提出的基于广义蛙跳格式<sup>[6]</sup> 得到的方法, 郭本瑜等提出的新型差分方法<sup>[7]</sup>, 以及近年来受广泛关注的无网格 (meshless) 方法<sup>[8-9]</sup> 等.

我们考虑二维情形的齐次或非齐次瞬态非线性 sine-Gordon 方程初边值问题: 给定最终求解时刻  $T > 0$ , 求  $u(\mathbf{x}, t)$  满足

$$\begin{cases} u_t(\mathbf{x}, t) - \Delta u(\mathbf{x}, t) + \sin(u(\mathbf{x}, t)) = f(\mathbf{x}, t), & \mathbf{x} \text{ in } \Omega, 0 < t < T, \\ \nabla \mathbf{u} \cdot \mathbf{n} = 0, & \mathbf{x} \text{ on } \partial\Omega, 0 < t < T, \\ u(\mathbf{x}, 0) = u_0, & \mathbf{x} \text{ in } \Omega, \\ u_i(\mathbf{x}, 0) = v_0, & \mathbf{x} \text{ in } \Omega, \end{cases} \quad (1)$$

式中,  $\Omega$  为二维求解区域,  $\mathbf{n}$  为区域边界的单位外法方向,  $f$  为外源项,  $u_0, v_0$  为初始值. 在方程(1)中我们给出了 Neumann 边界条件, 对于其他边界条件可类似处理.

收稿日期: 2016-09-18.

基金项目: 国家自然科学基金面上项目 (11571237).

通讯联系人: 盛华山, 博士生, 研究方向: 科学计算. E-mail: shs3701001@sjtu.edu.cn

在本文中,我们将在时间方向使用基于半隐插值线性化的  $C^0P_1$  时间递进方法,以及空间方向使用  $P_1$  协调元离散,进而构造出 sine-Gordon 方程的时空全离散求解格式并进行数值模拟.

### 1 $C^0P_1$ 时间递进方法及插值线性化

为简化记号,我们先考虑如下一般情形的抽象非线性二阶发展方程:给定最终求解时刻  $T>0$ ,求  $u: [0, T] \rightarrow V$ , 满足

$$\begin{cases} u''(t) + F(t, u(t)) = 0, 0 < t < T, \\ u(0) = u_0, \\ u'(0) = v_0, \end{cases} \tag{2}$$

式中,  $(\cdot)'$  和  $(\cdot)''$  分别表示时间方向的一阶和二阶导数,  $V$  为一 Hilbert 空间, 而映射  $F: [0, T] \times V \rightarrow V$  为一非线性算子. 下文始终假设问题(2)之解存在唯一.

使用标准的  $C^0P_1$  时间递进方法<sup>[1]</sup>对问题(2)实施时间方向半离散. 首先将求解时间区间  $I: = (0, T)$  进行子区间剖分, 相应的节点为

$$0 = t_0 < t_1 < \dots < t_N = T,$$

而得子区间  $J_n = (t_{n-1}, t_n]$  (记  $k_n = t_n - t_{n-1}$ ),  $1 \leq n \leq N$ . 定义如下函数空间

$$v_1 = \{v: \bar{I} \rightarrow V; v \in C(\bar{I}), v|_{J_n}(t) = \sum_{j=0}^1 t^j w_j, w_j \in V, 1 \leq n \leq N\},$$

并记  $V_1(J_n)$  为空间  $V_1$  限制在第  $n$  个子区间  $J_n$  上所得空间. 抽象方程(2)的  $C^0P_1$  时间递进方法给定如下: 求  $U \in V_1$ , 使得

$$\begin{cases} \int_{J_n} (\langle U'', w' \rangle + \langle F(t, U), w' \rangle) dt + \langle \dot{U}_+^{n-1} - \dot{U}_-^{n-1}, \dot{w}_+^{n-1} \rangle = 0, \\ U^0 = u_0, \dot{U}_+^0 = v_0, \forall w \in V_1(J_n), 1 \leq n \leq N, \end{cases} \tag{3}$$

式中, 内积为  $L^2$  空间的标准内积:  $\langle a, b \rangle := \int_{\Omega} abd\Omega, \forall a, b \in L^2(\Omega)$ , 并记

$$w^{n-1} := w(t_{n-1}), \dot{w}_{\pm}^{n-1} := \lim_{s \rightarrow 0^{\pm}} w'(t_{n-1} \pm s).$$

由数值解所在空间  $U \in V_1$  的假设条件,  $U|_{J_n}$  可由子区间左端时刻函数值  $U^{n-1}$ , 以及右端导数值  $\dot{U}_-^n$  唯一确定, 即对任意  $t \in J_n$

$$\begin{cases} U(t) = U^{n-1} + (t - t_{n-1})\dot{U}_-^n, \\ U'(t) = \dot{U}_-^n. \end{cases} \tag{4}$$

注意到(3)中非线性项  $F(t, U)$  在时间方向通常无法积分求出显式表达式.

下面我们将采用时间方向插值线性化的  $\mathcal{I}_E F(t, U(t))$  或  $\mathcal{I}_I F(t, U(t))$  代替(3)中非线性项. 其中局部线性化算子  $\mathcal{I}_E$  和  $\mathcal{I}_I$  分别使用左端和右端的导数值再加左端的函数值插值为关于时间  $t$  的线性函数, 其示意图如图 1.

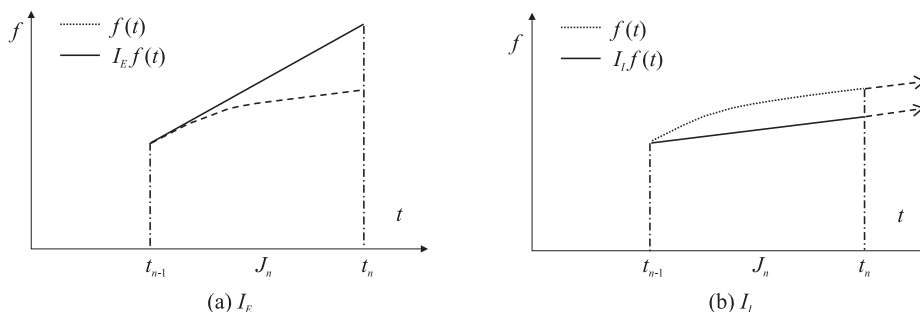


图 1 局部插值线性化(显式和隐式)示意图

Fig. 1 Diagrams of the local interpolation (explicit and implicit)

注意到非线性项  $F(t, U(t))$  在时间节点处并不连续,因此不妨在每个区间  $J_n$  可简记

$$F_+^{n-1} = F(t_{n-1}, U^{n-1}, \dot{U}_+^{n-1}) = F(t_{n-1}, U^{n-1}, \dot{U}_-^n). \quad (5)$$

使用链式法则得到非线性项关于  $t$  的全导数在区间  $J_n$  上  $t_n$  处的左极限和  $t_{n-1}$  处的右极限:

$$\dot{F}_-^n = \frac{\partial F}{\partial t} \Big|_{t_n^-} + \frac{\partial F}{\partial U} \Big|_{t_n^-} \dot{U}_-^n, \dot{F}_+^{n-1} = \frac{\partial F}{\partial t} \Big|_{t_{n-1}^+} + \frac{\partial F}{\partial U} \Big|_{t_{n-1}^+} \dot{U}_-^n. \quad (6)$$

由算子  $\mathcal{F}_E$  和  $\mathcal{F}_I$  的定义,在区间  $J_n$  上对  $F(t, U(t))$  项有如下显式和隐式插值线性化结果:

$$\mathcal{F}_E F(t, U(t)) = F_+^{n-1} + (t - t_{n-1}) \dot{F}_+^{n-1}, \mathcal{F}_I F(t, U(t)) = F_+^{n-1} + (t - t_{n-1}) \dot{F}_-^n. \quad (7)$$

将上述线性化结果代入到时间递进方法(3)中,则可将该式中时间方向积分直接求出.

## 2 Sine-Gordon 方程的离散

我们将 sine-Gordon 方程(1)与一般形式的抽象问题(2)对比,不难得知

$$F(t, u) = -\Delta u + \sin(u) - f(t),$$

相应的 Hilbert 空间为  $V = H^1(\Omega)$ . 根据图 1 中两种线性化方法的特点,不妨将  $F$  分裂为:

$$F(t, u) = F_E(t, u) + F_I(t, u), \text{ 其中 } F_E(t, u) = \sin(u), F_I(t, u) = -\Delta u - f(t).$$

在  $C^0P_1$  时间递进方法(2)的每个求解区间  $J_n (1 \leq n \leq N)$  中,对  $F$  项采用如下半隐插值:

$$F(t, U) \approx \mathcal{F}_E F_E(t, U) + \mathcal{F}_I F_I(t, U). \quad (8)$$

此外,结合式  $F$  的表达式显然有

$$\frac{\partial}{\partial t} F_E(t, U) = 0, \frac{\partial}{\partial U} F_E(t, U) = \cos(U), \frac{\partial}{\partial t} F_I(t, U) = -f'(t), \frac{\partial}{\partial U} F_I(t, U) = -\Delta, \quad (9)$$

联合式(4)-(7),以及(8),(9)并代入  $C^0P_1$  时间递进方法求解式(3),同时对时间方向积分,得到求解 sine-Gordon 方程的如下时间半离散格式:找  $\{\dot{U}_-^n\}_1^N \in H^1(\Omega)$ ,使得

$$\begin{cases} \left\langle \left( I + \frac{1}{2} k_n^2 \cos(U^{n-1}) \right) \dot{U}_-^n, v \right\rangle + \left\langle \frac{1}{2} k_n^2 \nabla \dot{U}_-^n, \nabla v \right\rangle = \\ \left\langle \dot{U}_-^{n-1} - k_n \sin(U^{n-1}), v \right\rangle - \left\langle k_n \nabla U^{n-1}, \nabla v \right\rangle + \left\langle k_n f(t_{n-1}) + \frac{1}{2} k_n^2 f'(t_n), v \right\rangle, \\ U^0 = u_0, \dot{U}_-^0 = v_0, \quad \forall v \in H^1(\Omega), 1 \leq n \leq N. \end{cases} \quad (10)$$

假设已经求得区间  $J_{n-1}$  上的数值解  $U(t)$ ,即此时已知  $U^{n-1}$  和  $\dot{U}_-^{n-1}$ ,则利用变分方程(10)在下个区间  $J_n$  上可计算得  $\dot{U}_-^n$ ,再利用性质(4)即可得到整个区间上的  $U(t)$ . 在每个时间区间上依次递进下去,便可得到所有区间上的数值解  $U(t)$ .

实际上半离散方程(10)在每个时间步内为线性的偏微分方程. 进一步,为了得到可计算的全离散格式,我们还需要对(10)在空间方向上离散. 假设  $T_h$  为求解区域  $\Omega$  的一组三角网格剖分,并且在  $T_h$  上定义  $P_1$  协调有限元空间

$$V_h := \{v | v \in C(\Omega), v|_K \in P_1(K), \forall K \in T_h\},$$

式中,  $P_1(K)$  为限制在单元  $K$  上不超过 1 次的多项式空间. 紧接着考虑在  $H^1(\Omega)$  的子空间  $V_h$  上求解方程(10),假设  $\varphi_i(x), i=1, \dots, N_p$  为网格  $T_h$  对应有限元空间  $V_h$  的一组基函数,  $N_p$  为有限元空间的自由度. 在这组基函数的表示下,有限元空间上变分方程(10)可以描述为如下矩阵形式:

$$\left( \mathbf{M} + \frac{1}{2} k_n^2 (\mathbf{K} + \mathbf{E}^{n-1}) \right) \dot{\mathbf{U}}_-^n = \mathbf{M} \dot{\mathbf{U}}_-^{n-1} - k_n (\mathbf{M} \sin(\mathbf{U}^{n-1}) - \mathbf{K} \mathbf{U}^{n-1}) + k_n \mathbf{F}_1^n + \frac{1}{2} k_n^2 \mathbf{F}_2^n, \quad (11)$$

式中,质量矩阵  $\mathbf{M}$ ,刚度矩阵  $\mathbf{K}$ ,区间  $J_n$  上的右端载荷向量  $\mathbf{F}_1^n$  以及  $\mathbf{F}_2^n$  的定义为:

$$\begin{aligned} [\mathbf{M}]_{ij} &= \langle \varphi_j, \varphi_i \rangle = \int_{\Omega} \varphi_j \varphi_i \, d\Omega, [\mathbf{K}]_{ij} = \langle \nabla \varphi_j, \nabla \varphi_i \rangle = \int_{\Omega} \nabla \varphi_j \cdot \nabla \varphi_i \, d\Omega, \\ \{\mathbf{F}_1^n\}_i &= \langle f(t_{n-1}), \varphi_i \rangle = \int_{\Omega} f(t_{n-1}) \varphi_i \, d\Omega, \{\mathbf{F}_2^n\}_i = \langle f'(t_n), \varphi_i \rangle = \int_{\Omega} f'(t_n) \varphi_i \, d\Omega, \end{aligned}$$

以及式中  $E^{n-1} := M \text{diag}(\cos(U^{n-1}))$ . 此外初始条件  $u_0, v_0$  也可以得到对应于网格  $T_h$  的向量表示:  $U^0$  以及  $\dot{U}^0$ . 事实上求解式(11)即为  $C^0P_1$  时间递进方法求解二维 sine-Gordon 方程的时空全离散计算格式.

我们将上述全离散求解的过程整理为算法 1.

算法 1 sine-Gordon 方程的全离散  $C^0P_1$  时间递进方法

初始化: 给定  $u_0, v_0$  及其对应网格  $T_h$  对应的向量表达, 给定时间剖分  $\{k_n\}$ , 置  $n=1$ ;

while  $n < N$

step 1: 结合已有  $U^{n-1}, \dot{U}^{n-1}$  以及全离散格式(11)求得  $\dot{U}^n$

step 2: 结合(4)得到区间  $J_n$  上的解  $U(t)$ , 以及  $U^n$

step 3: 置  $n=n+1$ , 转 while 判定

end while

### 3 数值实验

在这一节中, 我们首先通过构造一个已知真解的非齐次二维 sine-Gordon 方程算例来验证本文算法的收敛性. 假设取定二维 sine-Gordon 方程(1)中求解区域  $\Omega = (0, 1) \times (0, 1)$ , 求解时间  $T=1$  以及给定右端  $f(x, t)$  使得该方程的真解为  $u(x, t) = \sin(\pi x) \sin(\pi y) \sin(\pi t)$ , 此外初始条件  $u_0, v_0$ , 以及相应的 Neumann 边界条件均可由真解得到. 将求解区域划分为一致的三角网格, 尺寸为  $h$ . 该算例中我们将时间剖分步长取为和空间步长相等即  $k_n = h$ . 在不同的步长下, 我们使用算法 1 求得该问题的数值解. 为对比数值解的逼近程度, 我们定义如下时空范数:

$$\|e\|_{L^\infty(0,T)} := \text{esssup}_{0 \leq t \leq T} \|e\| := \text{esssup}_{0 \leq t \leq T} \left( \int_{\Omega} |e|^2 dx \right)^{1/2}.$$

计算结果以及相应的误差在表 1 中给出.

表 1 误差  $E := \|u(t) - U(t)\|_{L^\infty(0,T)}$  以及  $Ed := \|u'(t) - \dot{U}(t)\|_{L^\infty(0,T)}$

Table 1 Errors  $E := \|u(t) - U(t)\|_{L^\infty(0,T)}$  and  $Ed := \|u'(t) - \dot{U}(t)\|_{L^\infty(0,T)}$

Mesh $h=k_n$	1/20	1/30	1/40	1/50	1/60	1/70
$E$	2.681e-02	1.711 e-02	1.292 e-02	1.064 e-02	9.035 e-03	7.849 e-03
Order	—	1.107 20	0.976 02	0.871 86	0.896 40	0.913 02
$Ed$	1.993e-01	1.366 e-01	1.038 e-01	8.374 e-02	7.019 e-02	6.042 e-02
Order	—	0.932 29	0.952 99	0.963 96	0.968 48	0.972 57

由表 1 可以看出, 求解 sine-Gordon 方程  $C^0P_1$  时间递进方法的全离散格式(算法 1), 其函数和导数的收敛阶均为 1 阶.

接下来我们考虑二维齐次 Neumann 边界 sine-Gordon 方程的环形孤子<sup>[8]</sup>传播. 假设求解时间范围  $T=7$ , 以及求解区域  $\Omega = (-30, -10) \times (-30, -10)$ . 此外假设初值

$$u_0(\mathbf{x}) = 4 \arctan \exp[ (4 - \sqrt{(x+3)^2 + (y+3)^2}) / 0.436 ],$$

$$v_0(\mathbf{x}) = 4.13 \operatorname{sech}[ (4 - \sqrt{(x+3)^2 + (y+3)^2}) / 0.436 ].$$

空间方向采用  $h=20/64$  的一致三角网格, 时间方向采用步长  $k_n = 10^{-2}$  的均匀剖分. 然后使用  $C^0P_1$  时间递进方法(算法 1)求解, 并利用对称性给出整个对称区间的逼近解. 我们在图 2 中给出  $t=2, 3, 4, 5, 7$  时刻的数值解.

从图 2 中可以看出, 初始时刻  $\sin(U/2)$  表现为 4 个相互独立的环形孤子, 随着时间演化,  $t>3$  之后环形逐渐相交, 同时圆环的半径也不断增大,  $t>5$  之后圆环相互碰撞融合, 直到  $t=7$  演化为较大的环形并向外传播. 数值结果很好地模拟了 sine-Gordon 方程孤子的传播性质, 并且与文献[8]中的模拟结果一致.

致谢: 对导师黄建国教授对本工作的指导表示衷心感谢.

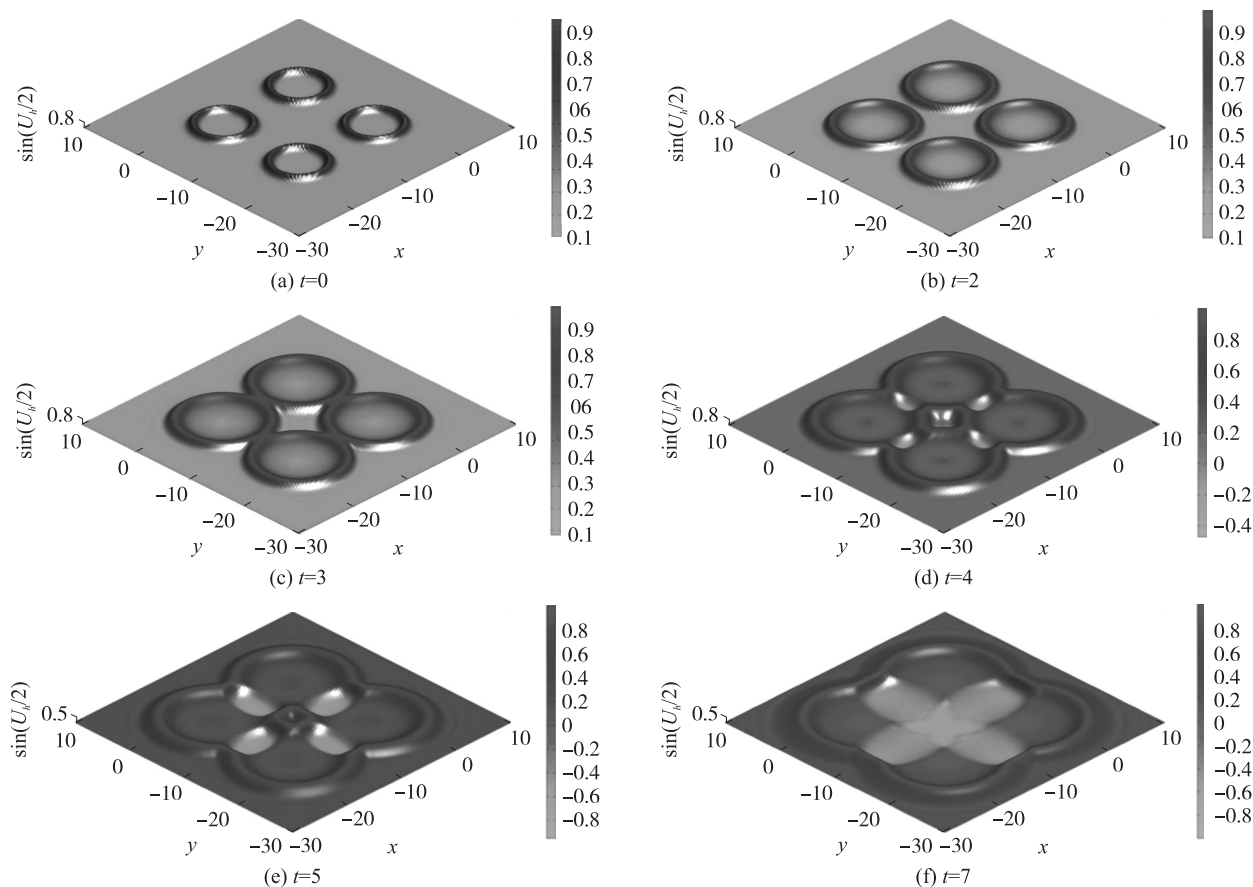


图 2  $C^0P_1$  时间递进方法所得  $\sin(U/2)$  以模拟 4 环形孤立子在不同时刻碰撞及演化

Fig.2 Numerical solution  $\sin(U/2)$  by  $C^0P_1$  time stepping method for circular ring solitons

[ 参考文献 ]

- [ 1 ] LAI J, HUANG J. An adaptive linear time stepping algorithm for second-order linear evolution problems[J]. Int J Numer Anal Mod, 2015( 12 ): 230-253.
- [ 2 ] BRENNER S, SCOTT L R. The mathematical theory of finite element methods[M]. 3rd. New York: Springer, 2008.
- [ 3 ] BOUR E. Theorie de la deformation des surfaces[J]. J ecole imperiale polytechnique, 1862, 19: 1-48.
- [ 4 ] ZAGRODZINSKY J. Particular solutions of the sine-Gordon equation in 2+1 dimensions[J]. Phys Lett A, 1979, 72: 284-286.
- [ 5 ] WAZWAZ A M. Exact solutions for the generalized sine-Gordon and the generalized sinh-Gordon equations[J]. Chaos solitons fractals, 2006, 28: 127-135.
- [ 6 ] CHRISTIANSEN P, LOMDAHL P. Numerical study of 2+1 dimensional sine-Gordon solitons[J]. Physica D, 1981( 2 ): 482-494.
- [ 7 ] GUO B, PASCUAL P, RODRIGUEZ M, et al. Numerical solution of the sine-Gordon equation[J]. Appl Math Comput, 1986, 18: 1-14.
- [ 8 ] MIRZAEI D, DEHGHAN M. Meshless local Petrov-Galerkin (MLPG) approximation to the two dimensional sine-Gordon equation[J]. J Comput Appl Math, 2010, 233: 2 737-2 754.
- [ 9 ] Dehghan M, Abbaszadeh M, Mohebbi A. An implicit RBF meshless approach for solving the time fractional nonlinear sine-Gordon and Klein-Gordon equations[J]. Eng Anal Bound Elem, 2015, 50: 412-434.

[ 责任编辑: 陆炳新 ]